

# رویکرد زیست محیطی در مدل سازی تغییرات کاربری اراضی محدوده کلانشهر تبریز با استفاده از تصاویر ماهواره‌ای چند زمانه‌ای، ارزیابی چند معیاری و سلول‌های خودکار زنجیره مارکوف (۳۶۳۱-۷۱۴۱)

رسول قربانی - دانشیار گروه جغرافیا و برنامه ریزی شهری دانشگاه تبریز  
محمد رضا پور محمدی - استاد گروه جغرافیا و برنامه ریزی شهری دانشگاه تبریز  
حسن محمودزاده<sup>۱</sup> - دانشجوی دکتری جغرافیا و برنامه ریزی شهری، دانشگاه تبریز

تاریخ دریافت: ۱۳۹۲/۰۶/۱۷

تاریخ پذیرش: ۱۳۹۳/۰۵/۱۴

## چکیده:

رشد سریع شهرنشینی، فشارهای سنگینی بر سرزمین و منابع اطراف آنها وارد کرده و موجب کاهش پوشش گیاهی، فضاهای باز و مشکلات جدی اجتماعی و زیست محیطی شده است. از این رویک گام اساسی برای مدیریت و برنامه ریزی توسعه شهری و همچنین ارزیابی اثرات تجمعی آن، بررسی و شبیه سازی توسعه فیزیکی شهری باشد. هدف از این مطالعه، درک عوامل مؤثر در روند توسعه فیزیکی کلانشهر تبریز با توجه به مقوله توسعه فضایی پایدار شهری از بعد اکولوژیکی و حفظ شرایط زیست محیطی آن در دو دهه آتی می‌باشد. بدین منظور با استفاده از تصاویر ماهواره‌ای چند زمانه لندست ۵ و ۷ و تکنیک‌های پردازش تصاویر ماهواره‌ای شی‌گرا، تغییرات کاربری اراضی در مقطع زمانی ۴۸۹۱-۱۱۰۲ با تأکید بر گسترش فضایی کلانشهر تبریز، مورد ارزیابی قرار گرفته است. براساس نتایج حاصله، مقدار مساحت کلانشهر تبریز (مادر شهر تبریز و شهرهای اقماری) از ۰۲۲۷/۴۳ هکتار در سال ۴۸۹۱ به ۶۴۳۲۲/۲۸ هکتار در سال ۱۱۰۲ رسیده است. مساحت قابل توجهی از توسعه اخیر بر پسترسیلایی و پهنه‌های آسیب‌پذیر از زلزله صورت گرفته که لزوم مدیریت توسعه آتی شهرهای محدوده رامی طلبد. بدین منظور عوامل مؤثر بر توسعه فیزیکی کلانشهر تبریز براساس پیشینه تحقیق در قالب ۴۲ شاخص، شناسایی و با استفاده از روش‌های ارزیابی چند متغیره مبتنی بر ترکیب خطی وزن دار فازی CLW نقشه‌سازی شدند و با استخراج اراضی مستعد توسعه فیزیکی آتی به همراه متغیر وابسته تغییرات شهری طی سال‌های ۱۱۰۲-۴۸۹۱ با استفاده از مدل سلول‌های خودکار زنجیره مارکوف vokraMLaC به پیش‌بینی الگوی آتی کاربری اراضی در قالب رویکرد حفاظت زیست محیطی و منطبق بر اصول توسعه پایدار تا سال ۸۳۰۲ پرداخته شد که در صورت استفاده از نتایج این تحقیق، در توسعه‌های آینده شهر کمترین آسیب به اراضی زراعی و باعی خواهد رسید.

**واگان کلیدی:** کلانشهر تبریز، سلول‌های خودکار، زنجیره مارکوف، تغییرات کاربری اراضی، طبقه‌بندی شی‌گرا.

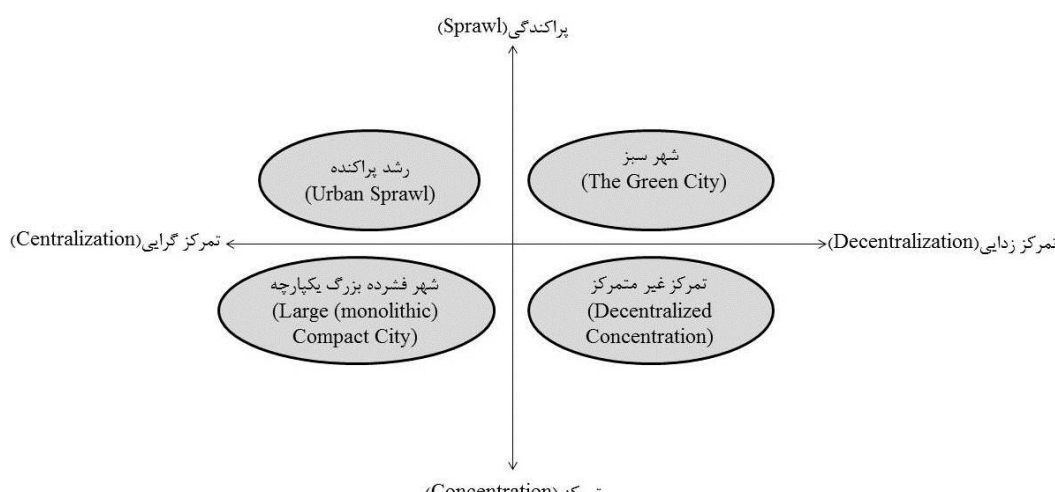
## ۱. مقدمه

گستردگی ا به رشد بیرونی مناطق شهری و رشد نابرابر و ناخواسته‌ای اطلاق می‌شود که منجر به استفاده ناکارآمد از منابع (به ویژه زمین) می‌شود(Sudhira and Ramachandra, 2000:86). گستردگی زمانی اتفاق می‌افتد که نرخ رشد جمعیت تجاوز زمین‌های غیرکشاورزی یا غیرطبیعی از نرخ رشد شهری از نشانه‌ای از گستردگی شدن شهری است(Bhatta, 2010, p:30). گرایش به کاهش تراکم شهری، کند(Bogart, 2009, p:42). از آثار توسعه کالبدی، گسترش در حاشیه شهر یا منطقه دهشمه‌ها و آن سوی مزهای اداری شهرهاست. این توسعه شهری به سوی مناطق بیرونی پیش رفته و موجب تغییراتی در کاربری اراضی پیرامونی آن می‌شود(شیعه، ۱۳۷۷:۶۵). هرچه شهر بزرگتر باشد، از اطراف خود اراضی بیشتری طلب می‌کند و بدین ترتیب خطر تخریب محیط‌زیست افزایش می‌یابد(بحرینی، ۱۳۶۸:۷۶). یکی از موضوعات حیاتی قرن ۲۱ درباره پایداری شهر، چگونگی رشد و توسعه شهر در فضاست. شکل شهر به عنوان الگوی توسعه فضایی فعالیت‌های انسان دربرهه خاصی از زمان تعریف می‌شود (Anderson, 1996:8) و به دو الگوی اصلی پراکندگی شهری و تراکم شهری تقسیم می‌شود(کاتی ویلیامز و همکاران، ۱۳۸۳:۱). از آنجاکه شکل پراکندگی شهر یا گسترش افقی و ساخت و سازهای جدید در اطراف شهر، باعث آسیب‌های اجتماعی اقتصادی و تخریب منابع زیست محیطی در شهرها و اطراف آنها شده است، با توسعه شهر ممکن است بسیاری از زمین‌های قابل کشت مجاور شهرها برای ساختمان سازی استفاده شود. در چنین موقعیت‌هایی، کشاورزان اطراف شهر بر اثر چند برابر شدن قیمت زمین‌ها، به تولید محصول علاقه نشانند. نم دهندا(شکم، ۱۳۸۵:۴۰۳-۴۰۴).

۲- پیشنهاد تحقیق

در سال‌های اخیر استفاده از تصاویر ماهواره‌ای در بررسی گسترش شهرها بسیار مورد توجه بوده است، که به تعدادی از آنها اشاره می‌شود:

زمانی (۱۳۸۶) در رساله دکترای خود با عنوان "ارزیابی و پیش‌بینی گسترش فضایی-کالبدی شهرهای ایران، مطالعه موردي شهر زنجان" یکی از مدل‌های شبیه‌سازی فرایندهای تغییر و تبدیل کاربری اراضی با هدف آزمون کارآیی آن در ساختارهای شهرنشینی شهر ایرانی با عنوان مدل CLUES استفاده کرده است. نتایج به دست آمده از فرایند کار نامبرده نشان می‌دهد، به شرط وجود



نصوب (1): حما، مدا، باء، اشکا، بایدا، توسعه شمی، منبع (Holden, 2004:106)

در حال شکل‌گیری است (Arsanjania and Etal, 2013:265). زاین و همکاران (۲۰۰۵) در پژوهشی با عنوان "ازیابی از رشد شهری در حوضه خلیج تمپا با استفاده از داده‌های سنجش از دور" با اشاره به تبدیل چشم‌اندازهای طبیعی به اراضی شهری در اثر رشد جمعیت، اقدام به تهیی نقشه‌های تغییرات کاربری اراضی منطقه اشاره شده با استفاده از تصاویر ماهواره‌ای لدست نموده و رشد اراضی شهری در طی دوره مورد مطالعه را سه برابر برآورد کده و با استفاده از مدل SLEUTH روند توسعه شهری را تا سال ۲۰۲۵ پیشینی نموده‌اند (Xian and Etal, 2005:203).

باردو و همکاران (۲۰۰۳) در پژوهشی با عنوان "پایداری شهری در کلانشهرهای کشورهای در حال توسعه: مدل سازی و پیشبینی آینده رشد شهری در لاگوس" با اشاره به رشد سریع جمعیت و انباشت شهری بالغ بر ۲۷ میلیون نفر در بیست سال آتی و نیاز به اراضی شهری نزدیک به ۹۶۹ کیلومتر مربع، به شبیه‌سازی توسعه فیزیکی در شهر لاگوس پرداخته و با استفاده از روش سلول‌های اتوماتا و تأکید بر جنبه‌های زیست محیطی تا سال ۲۰۲۰ روند توسعه فیزیکی را در این شهر پیش‌بینی نموده‌اند (Barredo and .Etal, 2003:297

گونگ و همکاران (۲۰۰۹) در پژوهشی با عنوان «ازیابی و پیش‌بینی امنیت زیستمحیطی شهری براساس مدل اتوماتای سلولی: مطالعه موردی گوانگزو، چین» برای پیش‌بینی تغییرات امنیت زیستمحیطی شهری با استفاده از مدل ماشین‌های سلولی (CA) به ارزیابی امنیتی زیستمحیطی شهری در شهر گوانگزو،

طی دوره زمانی (۱۹۹۰-۲۰۰۵) پرداختند. آنها با محدود کردن مدل پیشنهادی برای تغییر قوانین برنامه ریزی برای سال های ۲۰۲۰-۲۰۱۰، دقت شبیه سازی از ۷۲٪ درصد به دست آورده و با استفاده از یک شبکه ارزیابی یک بینی برای سال ۲۰۰۵، به شبیه سازی مدل امنیت زیست محیطی برای سال ۲۰۲۰ پرداختند و با توجه به روند فعلی وضعیت امنیت زیست محیطی، اذعان به کاهش کلی در وضعیت امنیت زیست محیطی طی ۱۵ سال آینده علیرغم اجرای طرح های شهری، داشتند (Gong and Etal, 2009:3612).

با نگاهی به مدل‌های اشاره شده، در جدول ۱ مشخص می‌شود که اکثر محققان در تحقیقات خود از روش‌های سلول‌های خودکار با ترکیبی از سایر مدل‌ها برای شبیه‌سازی پویایی شهری استفاده نموده‌اند. وجه تمایز این مقاله، استفاده از الگوی توسعه اکلولوژیک محور می‌باشد که تلاش خواهد داشت از تمامی پارامترهای زیستمحیطی، اقتصادی و اجتماعی مؤثر در پویایی شهر استفاده نماید. بعد دوم نوآوری این مقاله، استفاده از روش سیستم تحلیل چند معیاره<sup>۱</sup> به منظور تطبیق نتایج حاصل از پویایی شهری در مقایسه با الگوی توسعه اکلولوژیک می‌باشد.

در زمینه توسعه پایدار شهری، اصول، اهداف و بعد آن نظرات مختلفی را نشاند. با توجه به ابعاد سه‌گانه توسعه پایدارشهری (اجتماعی، اقتصادیو اکولوژیکی) بیشتر توجهات و تأملات به بعد مستحبت آن بوده است.

موضع توسعه پایدار در نواحی شهری، یکی از مهمترین مباحث پژوهی در زمینه ایمنی انسان است.

پایگاه اطلاعاتی جامع و مناسب برای دوره‌های زمانی مختلف در حوزه‌های آماری و تصویری، می‌توان از فناوری‌های نو در شبیه‌سازی، برآورد و پیش‌بینی رویدادهای احتمالی، که ممکن است در ادوار آتی شهرها و مدیریت و برنامه‌ریزی آنها با آن روبرو شوند، مورد استفاده قرار داد. براین اساس در این پژوهش از سه سناریوی آماده شده برای زنجان، شبیه‌سازی روندهای گسترش آتی شهر با نرخ رشد  $4/8$ % به عنوان نرخ رشد مساحت کالبدی دوره پنجماه ساله  $1335-85$  در سامانه شبیه‌سازی اعمال شد. حاصل کارنشان می‌دهد که سامانه یاد شده در مدل سازی سطح تغییرات فیزیکی کاربری‌ها و رائمه سناریوهای مختلف، از قابلیت قابل قبولی برخوردار است. برای رسیدن به این اهداف در پژوهش حاضر، ابتدا پیشنهادی از فرایند گسترش تاریخی شهر زنجان در قالب داده‌های آماری-گرافیکی و منابع تاریخی ارائه شده و آنگاه برای ارزیابی گسترش فضایی کالبدی شهر، دو مدل رگرسیون خطی و مدل کراس تب به عنوان روش‌های مکمل به کار بسته شده‌اند. نتایج تحقیق حاضر، همبستگی، شدت، وسعت و سازوکار تبدیل و تغییر کاربری اراضی شهری شهر زنجان را به عنوان برآیند و تجسم گسترش فضایی کالبدی آن نشان می‌دهد (زمانی، ۱۳۸۶: ۱).

آذری (۱۳۹۰) در پایان نامه کارشناسی ارشد خود با عنوان "مدل سازی گسترش فیزیکی شهرها برای رسیدن به توسعه پایدار شهری" با استفاده از سلول‌های خودکار (مطالعه موردی شهر مراغه) و چهار دوره تصویر ماهواره‌ای و استخراج کاربری اراضی با استفاده از لایه‌های اطلاعاتی تقاضا و تمهیلات اعطایی دولت، شبیب، خطوط ارتباطی و فاصله از مرکز تجاری شهر به پیشینی تغییر کاربری باغات به اراضی ساخته در سال ۲۰۲۱ اشاره نمود آذری، (۱۳۹۰).

کامیاب و همکاران (۱۳۸۹) در پژوهشی با عنوان "اتخاذ رهیافت اطلاعات محور با کاربرد روش رگرسیون لجستیک برای مدل سازی توسعه شهری گرگان" از سه گروه متغیرهای مستقل (شامل متغیرهای اجتماعی، اقتصادی، بیوفیزیکی و کاربری زمین) استفاده کرد و با ۱۰ متغیر مختلف، رشد شهری گرگان را مشخص کردند. در این تحقیق، الگوی رشد شهری منطقه مورد مطالعه برای سال های آینده ۲۰۱۰، ۲۰۲۰، ۲۰۳۰ و ۲۰۴۰ استخراج و در مرحله ارزیابی صحت مدل از روشن ROC استفاده نمودند. نتایج این تحقیق نشان می دهد از میان متغیرهای مؤثر، متغیر کاربری فعلی منطقه (به ویژه تبدیل زمین های زراعی و مرتعی) نقش مهمی در رشد شهر گرگان داشته است (کامیاب و همکاران، ۱۳۸۹).

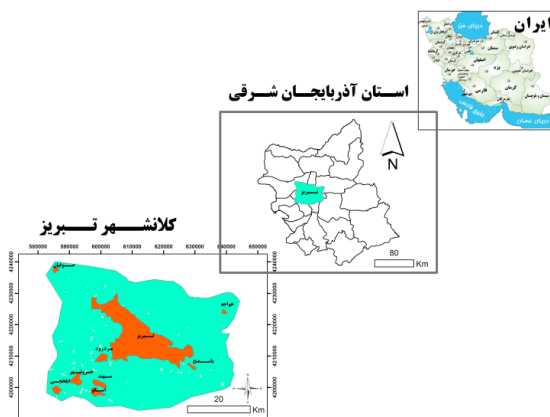
ارسنجانی و همکاران (۲۰۱۲) در پژوهشی با عنوان "تلقیق رگرسیون لجستیک، زنجیره مارکف و مدل‌های ماشین‌های سلولی" برای شبیه‌سازی توسعه شهری، به تجزیه و تحلیل گسترش حومه منطقه کلانشهر تهران پرداختند و به منظور بهبود عملکرد، از مدل رگرسیون لجستیک و متغیرهای زیست محیطی، اجتماعی و اقتصادی با ایجاد سطح احتمال گسترش شهر برای سال‌های ۲۰۱۶، ۲۰۲۶ نقشه شبیه‌سازی شده توسعه آتی را استخراج کرده و نشان دادند، موج جدیدی از توسعه بروون شهری در مجاورت مزنهای غربی کلانشهر تهران در طول دهه‌های بعدی،

جدول (۱): مدل‌های مورد استفاده توسط محققین برای مدل‌سازی توسعه فضایی شهرها

ردیف	نام محقق و سال	مدل
۱	سلیترو و همکاران (۲۰۱۲)	IPCC-SRES
۲	جی آرپونتیس و همکاران (۲۰۰۴)	LUCC
۳	(۲۰۰۷) مکول و همکاران	What if?
۴	زمانی (۱۳۸۶)، بایانی (۱۳۸۶)، باتیسانی و همکاران (۲۰۰۹)	CLUE_S
۵	کیانی (۱۳۸۳)، آذری (۱۳۹۰)، وبرو و همکاران (۲۰۰۳)، طبیبی و همکاران (۲۰۱۱)، فنگ و همکاران (۲۰۱۱)، دیتلز و همکاران (۲۰۰۶)، ونگ و همکاران (۲۰۱۰)، باردو و همکاران (۲۰۰۳)، سولکی و همکاران (۲۰۰۴)، لیو و همکاران (۲۰۰۸)، گونگ و همکاران (۲۰۰۹)، سیلووا و همکاران (۲۰۰۲)	Cellular Automata
۶	فلاختکار و دیگران (۱۳۸۸)، زان و همکاران (۲۰۱۱)، ارسنجانی و همکاران (۲۰۱۲)	Markov Chain & Cellular Automata
۷	اینگ و همکاران (۲۰۱۱)، لاگاریس (۲۰۱۲)، پولیمنزو و همکاران (۲۰۱۰)	Cellular Automata& Logistic Regression
۸	کامیاب (۱۳۸۹)، کارولینا و همکاران (۲۰۱۲)، هو و همکاران (۲۰۰۷)	Logistic Regression
۹	کامیاب (۱۳۹۰)، لی و همکاران (۲۰۱۰)، ونگ و همکاران (۲۰۱۱)، بهادر تاپا و همکاران (۲۰۱۲)، گیرکسیس و همکاران (۲۰۱۲)	Artificial Neural Network
۱۰	ماهینی (۱۳۸۷)، سیلووا و همکاران (۲۰۰۲)، ایکسیان و همکاران (۲۰۰۵)، جانزو و همکاران (۲۰۱۰)، جاسیا و همکاران (۲۰۱۲)، رفیعی و همکاران (۲۰۱۲)، هیو و همکاران (۲۰۱۲)	SLEUTH

مأخذ مطالعات نگارندگان

کار می‌رود. یک کلانشهر معمولاً از یک شهر مرکزی و تعدادی شهر اقماری تشکیل شده است. منطقه کلانشهری تبریز با ۲۲۰ هزارو ۷۱۲ هزارو، هكتار شامل شهرهای تبریز، صوفیان، خواجه، بامنچ، سرد رو، خسرو شهر، سهند، ایلخچی، اسکو و سایر رستاهای محدوده اش می‌باشد. از شمال به شهرستان مرند و از جنوب به مراغه و از شرق به شبستر و از غرب به هریس منتهی می‌شود که ۴/۸۱ درصد کل وسعت استان آذربایجان شرقی را در بر می‌گیرد (تصویر ۲). از لحاظ طبیعی ارتفاعات سهند از جنوب، دریاچه ارومیه از شرق و ارتفاعات می‌شود از شمال محدوده مورد مطالعه را در بر گرفته‌اند. در کل کلانشهر تبریز دارای نه شهر می‌باشد که بررسی سالنامه‌های اماری نشان می‌دهد تعداد جمعیت محدوده مورد مطالعه در سال ۱۳۵۵ هزارو ۵۴۲ نفر بوده که در سال ۱۳۹۰ با روند صعودی به یک میلیون و ۱۵۶ هزارو ۳۳۶ نفر افزایش یافته و با توجه به این روند،



تصویر (۲): موقعیت خرافیا، کلانشیپ ترین (ماخذ: نگارندهان)

طرح در میان صاحب نظران شهرسازی می باشد. در این رابطه هم مسائلی که باید به وسیله برنامه ریزان و سیاست گذاران شهری تعریف شوند تا اینکه این اتفاقات را

- استفاده بینه و درست از منابع و امکانات به گونه‌ای که نیازهای مورد نوجه و نعمق فرار کیرد، عبارتند از:

سل آتی را به مخاطره نینهادزد.  
- چگونگی استفاده و نگهداری از زمین.

- جهت دهی توسعه و گسترش شهرها، به طوری که پیوند آنها با اقتصاد نگذارد

- تعدیل نابرابری‌ها در استفاده از زمین و تأمین عدالت اجتماعی.

- توسعه حمل و نقل و شریان های شهری بدون کاهش ایمنی افراد.

#### - مبارزه با مفاسد و سوداگری زمین و حفظ ارزش‌ها و هویت محلی

راه حل منطقی برای رسیدن به اهداف فوق، تنها در سایه عنایت

و توجه خاص به برنامه ریزی شهری می باشد که هسته اصلی آن را

## برنامه‌ریزی کاربری اراضی تشکیل می‌دهد که سعی در ساماندهی

فضایی- مکانی فعالیت‌ها و عملکردهای شهر از یک سو در

شناخت و تقویت

کلانشیف<sup>۱</sup> عنوانه است که در مود شهراهای بزرگ و بجمعیت به

1 a major city together with its suburbs and nearby cities, towns and environs over which the major city exercises a commanding economic and social influence.(Ref: Encyclopaedia Britannica UI-UtimateReference Suite)

و تصحیحات اتمسفری بر پایه روش کاهش ارزش عددی پیکسل های تیره با در نظر گرفتن تأثیر محدوده های آبی صورت گفت.

با توجه به توانمندی تفکیک مطلوب کاربری‌ها، در روند طبقه‌بندی تصاویر از روش تحلیل شیگرای تصاویر استفاده شد که علاوه بر اطلاعات طیفی به اطلاعات مربوط به بافت، شکل و محتوا نیز استناد می‌گردد. واحدهای اساسی پردازش در تحلیل‌های شیگرای، شی‌های تصویری (سگمنت‌ها) هستند نه بیکسل‌ها. طبقه‌بندی شیگرای‌بیندی است که کلاس‌های پوشش اراضی را به اشیای تصویری پیوند می‌دهد و هر یک از شی‌های تصویری با درجه عضویت معین به کلاس‌های در نظر گرفته شده اختصاص می‌یابند. فرایند طبقه‌بندی در محیط نرم افزارهای بسیار تخصصی مانند: eCognition Definiens Professional Earth به نسخه ۷ به صورت یک فرایند تکرارپذیر انجام گرفت تا بالاترین درجه عضویت برای هر کدام از شی‌های تصویری حاصل آید (رسولی و محمودزاده، ۵۰:۳۸۹).

در روش سگمنت‌سازی FNEA، همگنی طیفی (hcolor) یک شی تصویری از مجموع انحراف معیار برای هر k باند تصویری (sk) که در وزن باندها ( $w_k$ ) ضرب می‌شود، محاسبه می‌گردد.

$$h_{\text{color}} = \sum_k w_k \cdot \sigma_k$$

در سگمنت سازی طیفی برای دخالت دادن اشکال بافتی تصاویر

11

شماره هشتم  
پاییز ۱۳۹۲  
فصلنامه علمی-پژوهشی  
**مطالعات پردازی**

رویکرد نیزست متحفظی در مدل‌سازی تغییرات کاربری اراضی محدوده کلانشهر تبریز با استفاده از تابع‌های مهواره‌ای چند زمانه‌ای، ارزیابی چند معناری و ساکن‌های جوکار ترجیح‌خواه کوچک (۱۳۹۶-۰۳-۰۴-۱۱۱۱)

An aerial photograph of a desert landscape, likely the Colorado Plateau, showing a mix of light-colored rock formations and darker, reddish-brown areas. A prominent feature is a large, irregularly shaped area highlighted in red, which appears to represent vegetation or a specific geological unit. The photograph is oriented with a compass rose in the top right corner, showing cardinal directions (N, S, E, W). In the bottom left corner, there is a scale bar labeled '9 Km'.

ضرورت مدل‌سازی رشد شهری برای جلوگیری از رشد پراکنده شهری و تخریب اراضی مرغوب کشاورزی بیش از پیش احساس مکشود (مهندسين مشاور زيتنا، ۱۳۸۹: ۵).

۴. مواد و روش‌ها

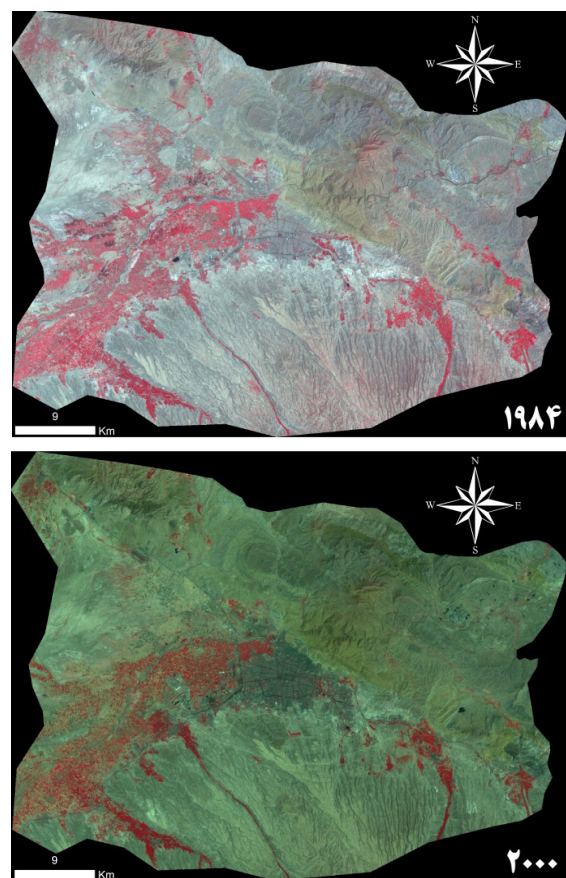
برای رسیدن به اهداف اصلی مطالعه، تصاویر ماهواره‌ای چند زمانه‌ای سنجنده TM و ETM+ در تاریخ‌های یاد شده در جدول ۲ و تصویر ۳ از کلانشهر تبریز، در فریم ۱۶۸-۳۴ پارامترهای مؤثر در توسعه شهری و نرم‌افزارهای Envi، Idrisi، ArcGIS و eCognition به کار گرفته شدند (جدول ۲ و تصویر ۳).

## جدول (۲): منابع اطلاعات موجود از انواع تصاویر ماهواره‌ای

سال تصاویر اخذ شده	سنجنده	قدر ت نقیکی
۱۹۸۴/۶/۲۳	TM	۳۰ متر
۱۹۹۰/۰۸/۱۹	TM	۳۰ متر
۲۰۰۰/۰۷/۱۴	ETM+	۳۰ متر
۲۰۱۱/۰۶/۱۹	TM	۳۰ متر

منبع: نگارندهان

زمین مرجع کردن تصاویر و تصحیحات ارتقای با استفاده از نقشه‌های توپوگرافی با خطای RMS ۰/۴۲ پیکسل (در حد کمتر از نیم پیکسل) با استفاده از نقشه‌های توپوگرافی ۱/۲۵۰۰



تصویر (۳): تغییرات بصری کلانشهر تبریز در سال های ۱۹۸۴-۲۰۱۱-۱۹۹۰-۱۹۸۴

شیوه‌های نمونه‌های آموزشی طبقه‌بندی تصاویر انجام شده و ارزیابی صحت نتایج طبقه‌بندی، با استفاده از ماتریس خطای طبقه‌بندی به اتمام می‌رسد (Benz and Etal, 2004:239).

در مطالعه حاضر با بررسی میدانی و برداشت نمونه‌های تعلیمی با GPS، با توجه به پراکنش کاربری‌ها از لحاظ پوشش و کاربری اراضی در محدوده کلانشهر تبریز، شش کلاس کاربری به این شرح انتخاب شد: اراضی بایر، اراضی ساخته شده، اراضی کشاورزی، اراضی باغی، اراضی مرتعیو اراضی آبی (تصویر ۴ و جدول ۳).

### جدول (۳): تنظیم تصویر قبل از اجرای طبقه‌بندی

TM 1984, TM1990, ETM+2000, TM2011	تنييمات
٢-٣-٤	تركيب باندی مناسب
١-٣-١	وزن باندها
١٠	پارامتر مقیاس
معيارشکل ٠/٢ ، معيار فشردگی ٥/٥	معيار همگنی شكل و فشردگي

با همپوشانی نقاط تعلیمی و ایجاد تصاویر کاذب رنگی مختلف سعی شد در انتخاب نمونه‌های آموزشی، پراکندگی مناطق برداشت نمونه در تمام تصویر رعایت شود تا توزیع نمونه‌ها نرمال باشد. بعد از طبقه‌بندی تصاویر سال‌های ۱۹۸۴، ۱۹۹۰، ۲۰۰۰ و ۲۰۱۱ نقشه‌های رستری استخراج شده برای تولید نقشه نهایی تقویات بدرای شدن.

توزیع فضایی تغییرات حادث شده در طی سال‌های ۱۹۸۴ تا ۲۰۱۱ در تصویر ۵ نمایش داده شده است. در این نقشه‌ها با استفاده از تابع پیوند(Union) شش لایه اطلاعاتی طبقه‌بندی شده مربوط به کاربری‌های سال‌های ۱۹۸۴-۲۰۱۱ بر روی همدیگر همپوشانی

با بررسی ها و تحلیل های انجام شده بر روی نقشه های تغییرات کاربری در GIS جداول مقایسه تغییرات کاربری و پوشش اراضی براساس تصاویر طبقه بندی شده سال های متوالی منطقه به دست آمداده اند.

تغییرات روی داده در اراضی منطقه اینگونه می‌باشد که در طی دوره ۱۹۸۴-۲۰۱۱ کلاس اراضی با پیرامون مساحت ۱۵۱۹۶۲/۶ هکتار در سال ۱۹۸۴ به ۱۴۷۰۵۲ هکتار در سال ۲۰۱۱ کاهش پیدا کرده است. اراضی ساخته شده که در سال ۱۹۸۴ حدود ۷۲۲۰۳/۴ هکتار بود، در پایان دوره به ۲۲۳۴۶/۸۲ هکتار افزایش پیدا کرده است. اراضی کشاورزی با مساحت ۲۵۲۶۹/۸۳ هکتار در سال ۱۹۸۴ به ۲۲۴۸۹/۰۲ هکتار در سال ۲۰۱۱ کاهش پیدا کرده است. اراضی باغی با مساحت ۱۰۴۴۲/۶۳ هکتار در سال ۱۹۸۴ به ۶۶۵۳/۴۳ هکتار در سال ۲۰۱۱ کاهش پیدا کرده است. اراضی مرتყی با مساحت ۲۵۲۴۸/۱۵ هکتار در سال ۱۹۸۴ به ۲۱۵۸۳/۸۰ هکتار در سال ۲۰۱۱ کاهش پیدا کرده است. اراضی آبی با مساحت ۶۶۹/۲۴ هکتار در سال ۱۹۸۴ به ۵۸۷/۷۰ هکتار در سال ۲۰۱۱ کاهش پیدا کرده است.

از محیط هندسی اشیا، معیار همگنی شکلی (hshape) نیز محاسبه می شود که شامل دو معیار فشردگی و نرمی می باشد.  
معیار انحراف فشردگی شکل (cpt) از نسبت طول حاشیه هندسی اشیا و ریشه دوم تعداد پیکسل ها (n) محاسبه می شود.

$$cpt = \frac{l}{\sqrt{n}}$$

معیار نرمی- کوتاهترین طول حاشیه اشیا - (smooth) از نسبت طول هندسی اشیا (a) به طول حاشیه (b) محاسبه می شود.

$$\text{smooth} = \frac{l}{b} \quad \text{فرمول ۳:}$$

معیار همگنی شکلی از ترکیب دو فاکتور بالا به شکل فرمول زیر بیان میشود.

$$h_{\text{shape}} = w_{cpt} \cdot h_{cpt} + (1 - w_{cpt}) \cdot h_{\text{smooth}}$$

برای کمک به مرحله بهینه‌سازی و کاهش دادن یکپارچه همگنی در فرایند سگمنتاسازی، در هر ترکیب جداگانه، یک شی تصویری باشی مجاور ترکیب می‌شود تا افزایش همگنی در حداقل مشخص شده، انجام گیرد. درجه مناسب برای هر جفت شی مجاور با تغییر همگنی ( $\Delta h$ ) بعد و قبل از ترکیب مجازی (mg) با معیار طیفی (A<sub>hcolor</sub>) بیان می‌شود که در همگنی انحراف معیار وزنی باندها در اندازه اشبیا پیکسل (n) به دست می‌آید.

فرمول ۵:

$$\Delta h_{\text{color}} = \sum w_k (n_{mg} \cdot \sigma_k^{mg} - [n_{ob1} \cdot \sigma_k^{ob1} + n_{ob2} \cdot \sigma_k^{ob2}])$$

برای فشردگی به صورت ذیل محاسبه می شود.

$$\Delta h_{cpt} = n_{mg} \cdot \frac{l_{mg}}{\sqrt{n_{mg}}} - \left( n_{ob1} \cdot \frac{l_{ob1}}{\sqrt{n_{ob1}}} + n_{ob2} \cdot \frac{l_{ob2}}{\sqrt{n_{ob2}}} \right)$$

و داع نم بہ صورت زن محاسبہ م شود:

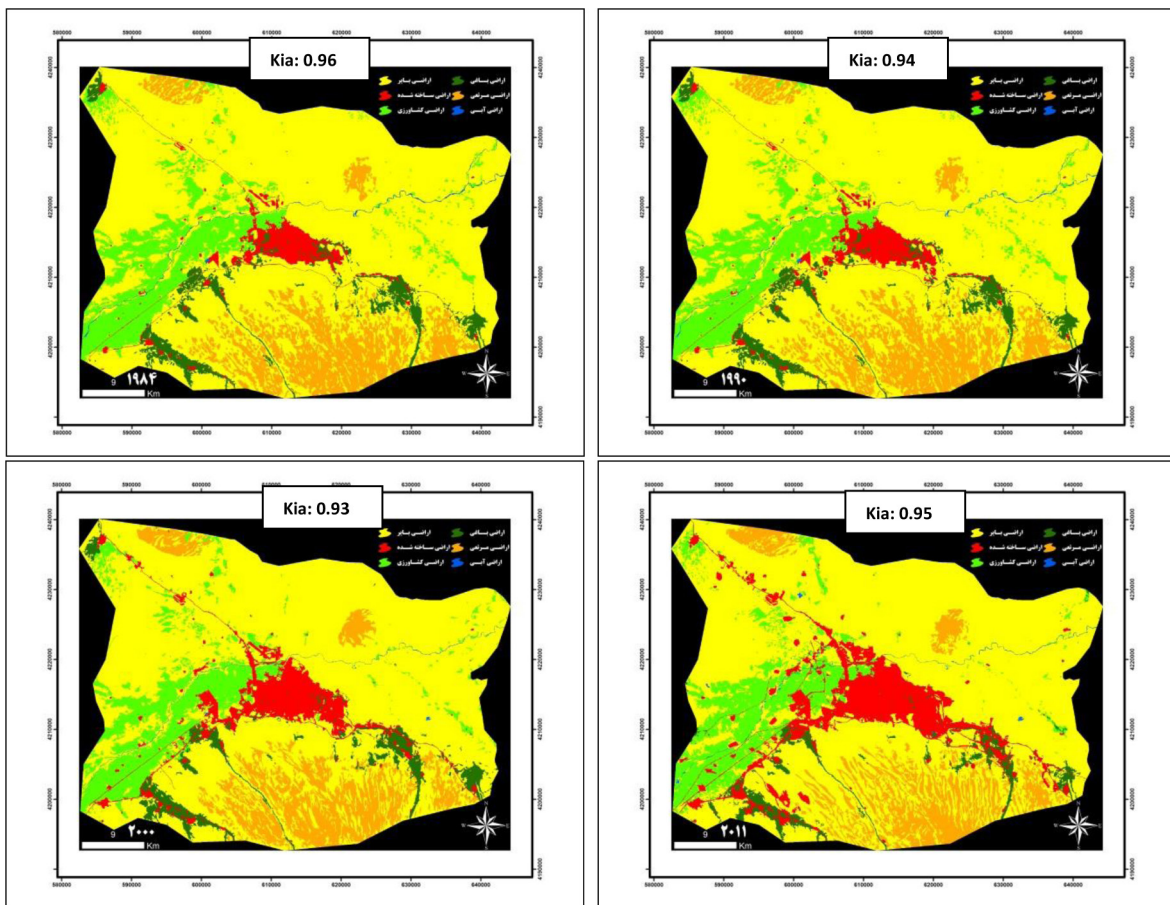
فرمول ۷:

زمانی که کوچکترین رشد ممکن از آستانه مقیاس سگمنت‌سازی مشخص شده به وسیله کاربر تجاوز نماید، مرحله ترکیب متوقف می‌شود که با عنوان پارامترهای مقیاس نامگذاری شده است. بایستی دقت نماییم که پارامتر مقیاس بزرگ، اشیای تصویری بزرگتری را در سگمنت‌سازی تولید می‌کند. در نهایت برای سگمنت‌سازی چند مقیاسی از فرمول زیر برای تابع سگمنت‌سازی (Sf) استفاده می‌شود:

فرموده: ۸

color color (color) shape

در مرحله پیانی با تعریف اطلاعات برای کلاس‌های مختلف و تعریف شرایط طبقه‌بندی برای هر کدام از کلاس‌ها با تفکیک



۱۹

تصویر(۴): کاربری زمین استخراج شده در سال های ۲۰۱۱-۲۰۰۰-۱۹۹۰-۱۹۸۴ مأخذ: نگارنگان براساس پردازش تصاویر ماهواره ای سال های ۱۹۸۴-۲۰۱۱

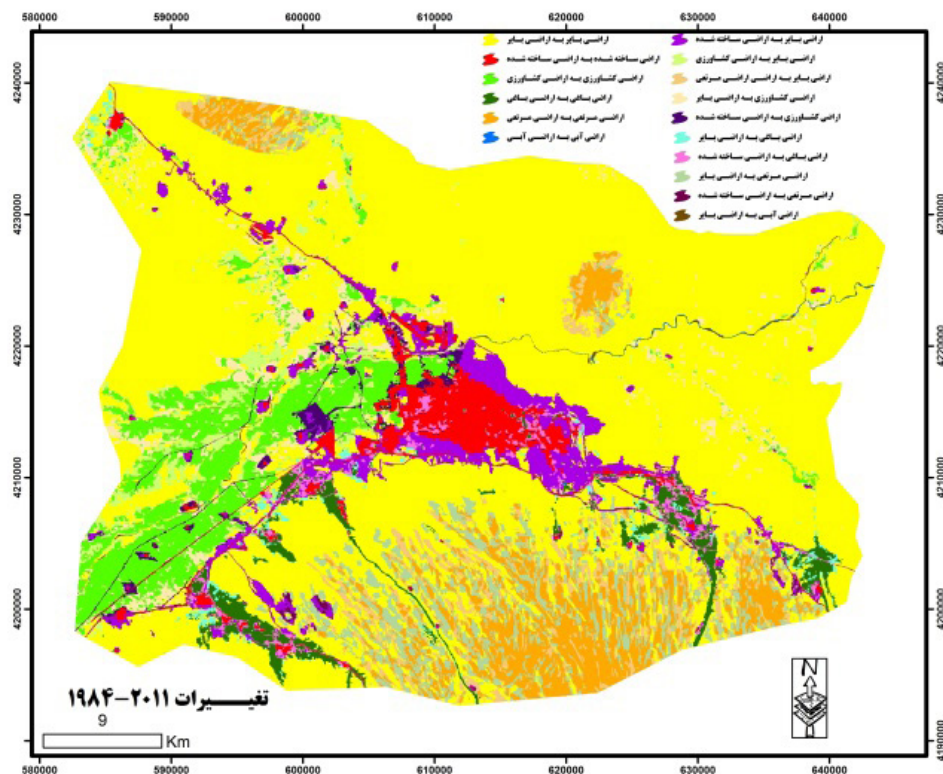
شماره مشتمل

پاییز ۱۳۹۲

فصلنامه علمی- پژوهشی

## مطالعات زمین

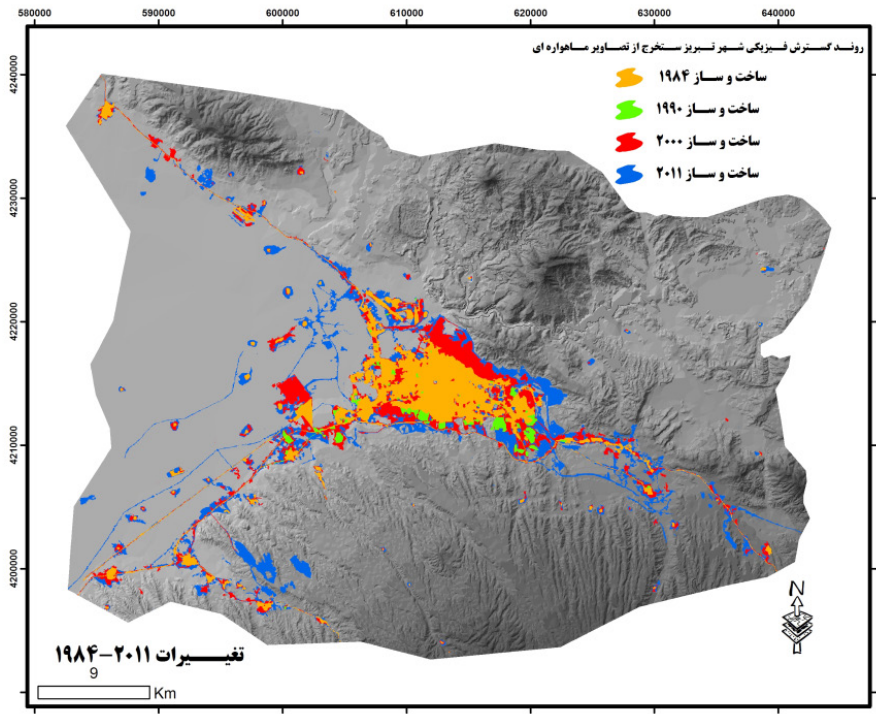
روکود زیست محیطی در مدلسازی تغییرات کاربری اراضی محدوده کلانشهر تبریز با منفاهه از تغییرات ماهواره ای چند زمانه ای، ارزیابی چند معیاری و سلول های خودکار نجیب ره مارکوف (۱۳۹۶-۱۴۱۱)



تصویر(۵): تغییرات کاربری اراضی کلانشهر تبریز بین سال های ۲۰۱۱-۱۹۸۴ مأخذ: نگارنگان، براساس پردازش تصاویر ماهواره ای سال های ۱۹۸۴-۲۰۱۱

جدول (۴): مقایسه تغییرات کاربری و پوشش اراضی براساس تصاویر طبقه‌بندی شده ۱۹۸۴ و ۲۰۱۱

مجموع کلاس‌ها	اراضی آبی	اراضی مرتعی	اراضی باغی	اراضی کشاورزی	اراضی ساخته شده	اراضی باز	
۱۴۷۰۵۲	۲۶۱/۳۶	۱۰۵۸۰/۷۶	۱۷۵۳/۲۹	۶۷۳۸/۵۷	۰	۱۲۷۷۱۸	اراضی باز
۲۲۴۴۶/۸۲	۴۹/۴۱	۲۷۳/۳۳	۲۷۰۸/۱۰	۲۰۲۶/۸۹	۷۲۲۰/۳۴	۱۰۶۸/۸۴	اراضی ساخته شده
۲۲۴۸۹/۰۲	۱۳۴/۹۱	۸/۱۹	۵۲۵/۸۷	۱۶۱۱۶/۷۵	۰	۵۷۰۳/۳۰	اراضی کشاورزی
۶۶۵۳/۴۳	۷/۱۶۵	۱۰۶/۰۲	۵۱۸۹/۰۴	۳۲۴/۲۷	۰	۱۰۲۶/۴۵	اراضی باغی
۲۱۵۸۳/۸۰	۰	۱۴۲۷۹/۱۳	۶۶/۱۵	۸۷/۴۸	۰	۷۱۵۱/۰۴	اراضی مرتعی
۵۸۷/۷۰	۲۱۵/۹۱	۰/۷۲	۰/۲۷	۷۵/۸۷	۰	۲۹۴/۹۳	اراضی آبی
۰	۶۶۹/۲۴	۲۵۲۴۸/۱۵	۱۰۲۴۲/۶۳	۲۵۳۶۹/۸۳	۷۲۲۰/۳۴	۱۵۱۹۶۲/۶	مجموع کلاس‌ها
۰	۴۵۳/۳۳	۱۰۹۶۹/۰۲	۵۰۰۳/۵۹	۹۲۵۳/۰۸	۰	۲۴۲۴۴/۵۶	تغییرات کلاس
۰	-۸۱/۵۴	-۳۶۶۴/۳۵	-۳۵۸۹/۲۰	-۲۸۸۰/۸۱	۱۵۱۲۶/۴۸	-۴۹۱۰/۵۸	تغییر تصاویر

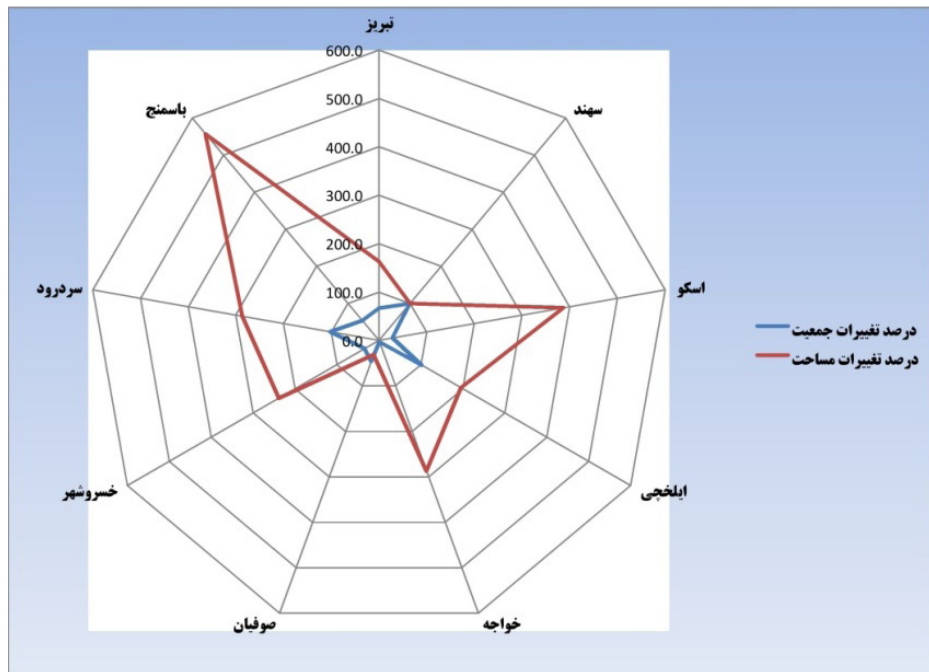


تصویر (۶): تغییرات سطح کاربری اراضی ساخته شده - مأخذ: نگارنگان، براساس پردازش تصاویر ماهواره‌ای سال‌های ۱۹۸۴-۲۰۱۱

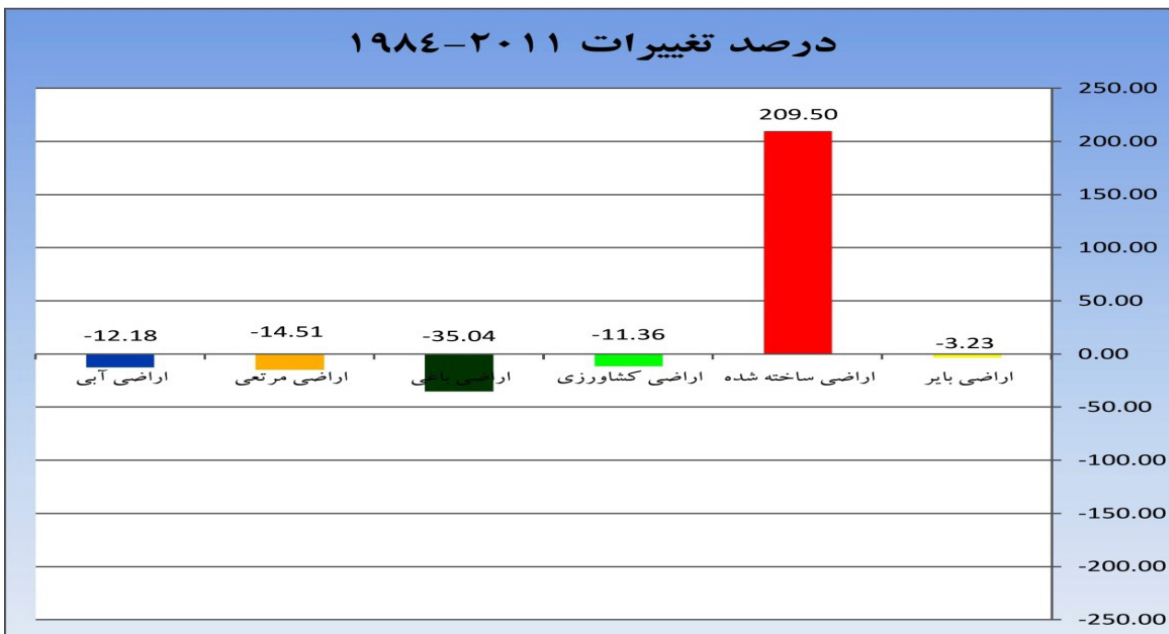
مسئله باعث چند برابر شدن مساحت شهرهای کلانشهر شده، در حالی که طی این دوره آماری جمعیت شهرهای مجموعه از چنان رشدی برخوردار نبوده و مسئله شدت پراکنش شهری را می‌توان در رشد نامنظم شهرهای مجموعه، در بسترهای باغی اطراف شهرها مشاهده نمود. این مسئله به خصوص در شهرهای تبریز، سردرود، ایلخچی، خسروشهر و اسکو باعث رشد گستته شهرها شده و به قابلیت اکولوژیکی آنها آسیب شدیدی وارد کرده است (تصویر ۷).

با همپوشانی کلاس اراضی ساخته شده طی سال‌های ۲۰۱۱-۱۹۸۴ بر روی مدل رقومی ارتفاع در تصویر ۶ روند گسترش فضایی کلانشهر تبریز به صورت بصیری استخراج گردید (تصویر ۶).

نمودار راداری مقایسه تغییرات درصد مساحت نسبت به درصد تغییرات جمعیت در کلانشهر تبریز بین سال‌های ۱۳۹۰ تا ۱۳۶۳ نشان می‌دهد، تغییرات مساحت شهرهای کلانشهر تبریز خیلی سریعتر از تغییرات جمعیت شهرهای کلانشهر تبریز می‌باشد. این



تصویر ۷: نمودار راداری مقایسه تغییرات درصد مساحت نسبت به درصد تغییرات جمعیت در کلانشهر تبریز بین سال‌های ۱۳۶۳ تا ۱۳۹۰ برای نمایش شدت پراکنش شهری



تصویر ۸: تغییرات درصد سطوح کاربری اراضی کلانشهر تبریز بین سال‌های ۱۹۸۴ تا ۲۰۱۱ - مأخذ: نگارندهان، براساس پردازش تصاویر ماهواره‌ای سال‌های ۲۰۱۱-۱۹۸۴

۲۱  
شماره مشتمل  
۱۳۹۲ پاییز  
فصلنامه علمی-پژوهشی  
**مطالعات شهر**  
آنالیز زیست محیطی و مدلسازی تغییرات کلیمایی زیرزمینی از نظر ماهواره‌ای، ارزیابی چند معیاری و سلوالهای زیرزمینی زیست محیطی در مدلسازی تغییرات کلیمایی از اراضی محدوده کلانشهر تبریز با استناد به رویکرد زیست محیطی در کلانشهر تبریز با استناد به تحقیقات انجام گرفته از متغیرهای زمین شناسی، فاصله از گسل، درصد شیب، جهات شیب، بافت

خاک، عمق خاک، روانگرایی خاک، شرایط زهکشی خاک، ارتفاع، بارش، دما، فاصله از رودخانه، کاربری اراضی، فاصله از مرکز شهری، فاصله از مرکز درمانی، فاصله از مناطق تجاری، فاصله از مناطق صنعتی، فاصله از مرکز اداری، فاصله از مرکز تفریحی رفاهی، فاصله از آثار فرهنگی، فاصله از مرکز آموزشی، فاصله از راه‌های اصلی، فاصله از خطوط انتقال نیرو و تعداد سلوال‌های شهری در پنجره  $3 \times 3$  استفاده شده است (جدول ۵). برای تهیه و آماده‌سازی بانک اطلاعاتی لایه‌های یاد شده از نرم افزار ArcGIS10 و مدل Wlc فازی در محیط نرم افزار Idrisi استفاده شد و سپس

مجموع درصد تغییرات کاربری‌ها نشان می‌دهد که در رشد اراضی ساخته شده، بیشترین سهم به طور نسبی از کاهش اراضی باگی، اراضی کشاورزی و اراضی مرتعی ناشی شده است (تصویر ۸).

#### ۵. روش ترکیب خطی وزنی (WLC) در فازی‌سازی داده‌ها

برای شناسایی اراضی مناسب توسعه با رویکرد زیست محیطی در کلانشهر تبریز با استناد به تحقیقات انجام گرفته از متغیرهای زمین شناسی، فاصله از گسل، درصد شیب، جهات شیب، بافت ۱ .Weighted Linear Combination

متغیرهای مستقل یاد شده برای مدل سازی تا سال ۲۰۳۸ به همراه سلول‌های خودکار زنگیره مارکوف آماده سازی شدند.

مدل ارزیابی چند معیاره به منظور بررسی هدف یا اهداف تعریف شده‌ای براساس چندین معیار طراحی شده است. ترکیب لایه‌ها در این مدل‌ها به صورت‌های مختلف (And, Or, ...، wlc) بوده که در تحقیق حاضر از روش ترکیب خطی وزن دار فازی WLC به دلیل انعطاف‌پذیری بیشتر نسبت به سایر روش‌ها استفاده گردید. استانداردسازی لایه‌ها یکی از بخش‌های مهم این مدل می‌باشد. به علاوه وزن هر یک از فاکتورها نیز از حساسیت بالایی برخوردار است و مجموع وزن فاکتورها در این روش WLC می‌باشد. برای رسیدن به این هدف از اوزان به دست آمده در روش AHP<sup>۱</sup> استفاده شد.

روش ترکیب خطی وزنی، رایج ترین تکنیک در تحلیل ارزیابی چند معیاری است. این تکنیک، روش امتیازدهی نیز نامیده می‌شود. این روش بر مبنای مفهوم میانگین وزنی استوار است. تحلیل گر یا تصمیم‌گیرنده مستقیماً بر مبنای اهمیت نسبی هر معیار مورد بررسی، وزن‌هایی به معیارها می‌دهد. سپس از طریق ضرب کردن وزن نسبی در مقدار آن خصیصه، یک مقدار نهایی برای هر گزینه (مثل «عنصر تصویر در تحلیل فضایی») به دست می‌آید. پس از آنکه مقدار نهایی هر گزینه مشخص شد، گزینه‌ای که بیشترین مقدار را داشته باشد، مناسب‌ترین گزینه برای هدف مورد نظر خواهد بود (شهابی و همکاران، ۱۳۸۸). هدف مورد نظر می‌تواند تعیین تناسب زمین برای یک کاربرد خاص یا ارزیابی پتانسیل یک خداد ویژه باشد. در این روش قاعده تصمیم‌گیری، مقدار هر گزینه A<sub>i</sub> به وسیله رابطه ۱ محاسبه می‌کند:

$$A_i = \sum_{j=1}^n w_j \times x_{ij}$$

در رابطه ۱ وزن شاخص زام،  $w_j$  ام مقداری است که مکان ام در رابطه با شاخص زام به خود پذیرفته است. به عبارت دیگر این مقدار می‌تواند بیانگر درجه مناسب بودن مکان ام در ارتباط با شاخص زام باشد.  $n$  تعداد کل شاخص‌ها بوده و  $x_{ij}$  مقداری است که در نهایت به مکان ام تعلق می‌گیرد. همانطور که قبل بیان شد، در این روش می‌بایست مجموع وزن‌ها برای یک باشد، که در صورت عدم وجود چنین شرایطی باید در مرحله آخر،  $A_{i+1}$  بر مجموع کل وزن‌ها تقسیم گردد. در این صورت خروجی A<sub>i+1</sub> نیز عددی بین صفر و یک خواهد. البته از آنجا که بیشتر یا کمتر بودن مقدار خروجی می‌تواند دلیلی برای مناسبتر بودن یا نامناسب‌تر بودن یک گزینه باشد، می‌توان ازنرمال کردن وزن‌ها صرف نظر کرد. در نهایت گزینه ایده‌آل، گزینه‌ای خواهد بود که برای بیشترین A<sub>i</sub> باشد (پرهیزگار و غفاری گیلاند، ۱۳۸۵: ۷۲). روش ترکیب خطی وزنی می‌تواند با استفاده از سیستم اطلاعات جغرافیایی و قابلیت‌های همپوشانی این سیستم اجرا شود. فنون همپوشانی در سیستم اطلاعات جغرافیایی اجازه می‌دهد که برای تولید یک لایه نقشه‌ای ترکیبی (نقشه برونداد) با هم ترکیب و تلفیق شوند (شهابی و نیازی،

۳:۱۳۸۸).

فرایند تحلیل سلسله مراتبی در سال ۱۹۷۱ به وسیله ساعتی به عنوان یک ابزار تحلیل تصمیم وسیع برای مشکلات مدل‌های بی‌ساخت همانند سیاست، اقتصاد، اجتماع و علم مدیریت به وجود آمد که براساس آن ارزش‌ها برای مجموعه‌ای از اهداف به صورت دو به دو مقایسه می‌شوند (Yu, 2002: 1970). در سال ۲۰۰۱ AHP ساعتی و ارگس با به کارگیری هردو مفهوم عقلانیت و شهود را برای انتخاب بهترین راه حل، ازین چندین راه حل به کارگرفتند (Tolga, 2004, 90).

ازیابی کاری ای راه حل‌ها در AHP دارای مراحل زیر می‌باشد:

- الف- ایجاد ماتریس مقایسه دو به دو برای معیارهای تصمیم‌گیری،
- ب- محاسبه ارجحیت معیارها نسبت به یکدیگر و
- ج- تحلیل پایداری (Hwang, 2004: 672).

جدول ۵ مقادیر آستانه و نوع تابع فازی، برای استانداردسازی نقشه‌های معیار در منطق فازی را نشان داده است. برای انجام عملیات تلفیق فازی و استخراج نقشه مطلوبیت مکانی توسعه شهری به روش WLC، با توجه به قابلیت‌های گسترده نرم‌افزار Idrisi در مسائل آنالیز تصمیم‌گیری چند معیاره، از این نرم‌افزار استفاده گردید و نقشه‌های محدودیت و نقشه‌های معیار با اعمال نمودن اوزان متناظر به عنوان وزنهای معیار تلفیق شدند (تصویر ۹:۱۰).

پس از استخراج نقشه‌ها با اعمال ضریب همبستگی بین لایه‌های یاد شده، لایه‌های دارای ضریب همبستگی بالای ۰/۹ از روند تحلیل حذف شد و بین لایه‌های باقیمانده در محیط نرم‌افزار Export Choice ارجحیت لایه‌ها نسبت به یکدیگر تعیین و وزن نهایی هر لایه با ضریب نایابداری ۰/۰۴ به دست آمد که با توجه به کمتر بودن آن از ۰/۰ مدل نهایی به روش ترکیب خطی وزن‌دار اجرا شد (تصویر ۱۱:۱۲).

## ۶. سلول‌های خودکار زنگیره مارکوف

سلول‌های خودکار مدل‌هایی هستند که در آن سلول‌های مجاور و پیوسته، از قبیل سلول‌هایی که ممکن است شامل شبکه چهار گوش نیز باشند، حالت یا خصیصه‌های آنها را از طریق کاربرد تکراری قوانین ساده تغییر می‌دهند. مدل‌های CA می‌توانند مبتنی بر سلول‌هایی باشند که در چندین بعد تعریف می‌شوند. قواعد تغییر حالت سلول از یک حالت به حالت دیگر می‌توانند به صورت ترکیباتی از رشد و یا کاهش، از قبیل تغییر به یک سلول توسعه یافته و یا بدون توسعه باشند. این تغییر تابع و منبع، تغییراتی است که در سلول‌های مجاور یا سلول‌هایی که نزدیک هم می‌باشند، تعریف سلول‌های مجاور یا سلول توسعه می‌دهد. همسایگی معمولاً به صورت می‌شوند. این مدل اولین بار به وسیله یک ریاضیدان انگلیسی به نام آلن تارینگ پیشنهاد گردید. به عنوان مثال ساده‌ترین حالت توسعه شهرها رشد پیوسته می‌باشد. در صورتی که هشت سلول مجاور یک سلول توسعه یابد، سلول مورد نظر نیز توسعه می‌یابد و به رشد خود ادامه می‌دهد. در صورتی که همسایگی کوچک‌تر باشد و فقط سلول‌های شمال، جنوب، غرب و یا شرق توسعه

جدول(۵): حد آستانه و نوع تابع فازی برای استاندارد سازی نقشه های معیار در منطق فازی

نام تابع فازی	نوع تابع فازی	حد آستانه		لایه نقشه	بعد توسعه شهری
		a یا C	b یا d		
Sigmoidal	Symmetric	-	-	زمین شناسی	
Linear	افراشی	.	۱۶۷۵۳	فاصله از گسل	
Sigmoidal	کاهشی	.	۱۵	درصد شیب	
Sigmoidal	Symmetric	-	-	جهات شیب	
Sigmoidal	Symmetric	-	-	بافت خاک	
Sigmoidal	Symmetric	-	-	عمق خاک	
Sigmoidal	Symmetric	-	-	روانگرایی خاک	
Sigmoidal	Symmetric	-	-	شرایط زهکشی خاک	
Linear	کاهشی	۱۲۹۶	۲۴۸۹	ارتفاع	
Linear	افراشی	۲۴۴	۳۵۴	بارش	
Linear	افراشی	۵,۳۲	۱۲,۴۲	دما	
Sigmoidal	افراشی	۳۰۰	۹۰۰	فاصله از رودخانه	
Sigmoidal	Symmetric	-	-	کاربری اراضی	
Sigmoidal	کاهشی	.	۱۶۶۶۳	فاصله از مراکز شهری	
Linear	کاهشی	۱۰۰	۲۰۰	فاصله از مراکز بهداشتی درمانی	
Linear	کاهشی	۳۰۰	۳۰۰	فاصله از مناطق تجاری	
Linear	افراشی	۲۰۰	۱۵۰	فاصله از مناطق صنعتی	
Sigmoidal	کاهشی	۱۰۰	۳۰۰	فاصله از مراکز اداری	
Sigmoidal	کاهشی	۹۰۰	۳۲۰۰	فاصله از مراکز تفریحی رفاهی	
Sigmoidal	کاهشی	.	۷۰۰	فاصله از آثار فرهنگی	
Sigmoidal	کاهشی	۷۰۰	۱۲۰۰	فاصله از مراکز آموزشی	
Jshaped	کاهشی	۱۵۰	۷۰۰	فاصله از راه های اصلی	
Sigmoidal	افراشی	۹۰	۳۰۰	فاصله از خطوط انتقال نیرو	
Sigmoidal	Symmetric	-	-	تعداد سلول های شهری در پنجره ۳×۳	

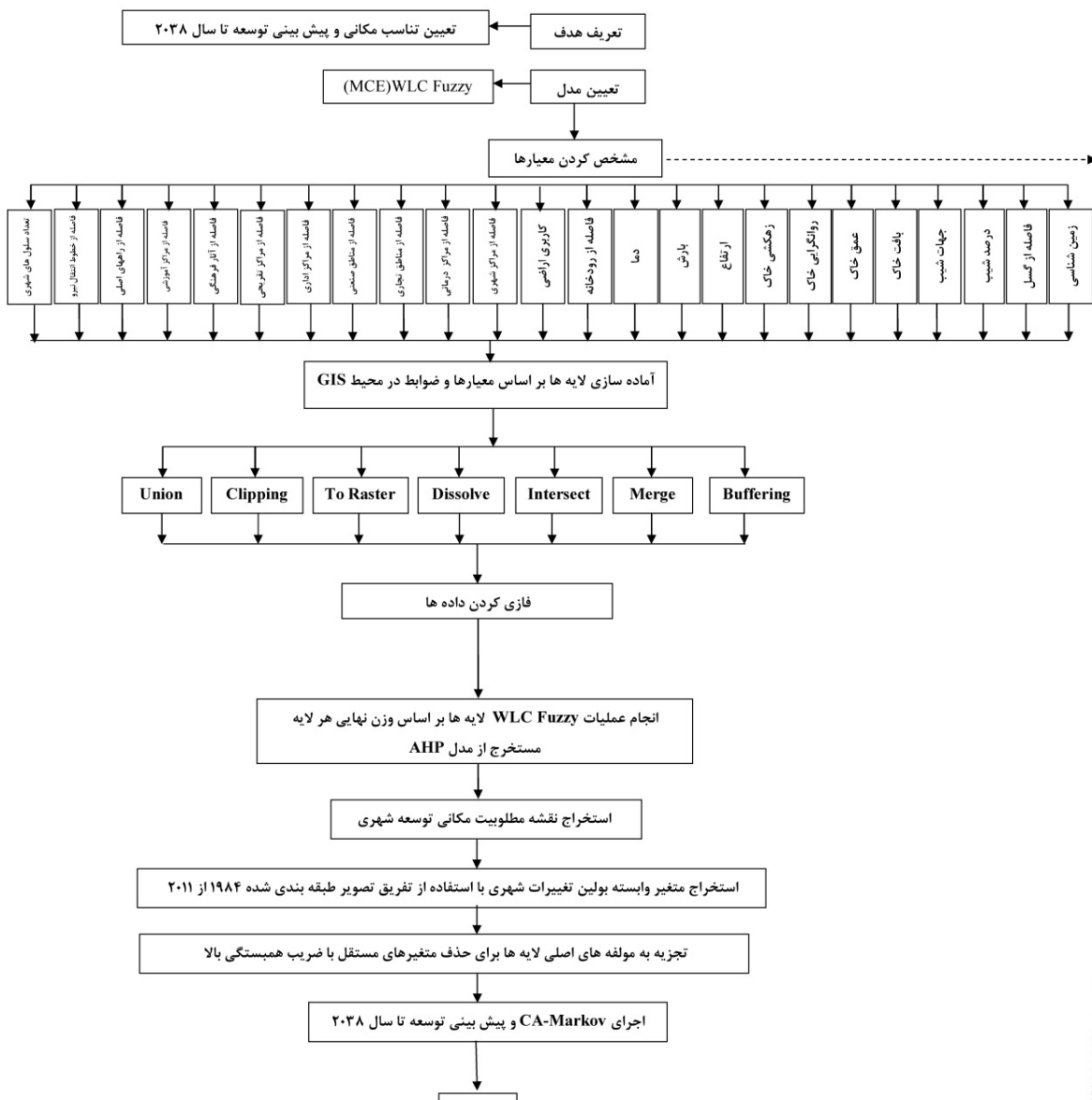
یک زمان معین تنها می‌تواند یکی از این حالات را داشته و به طور پیاپی از یک حالت به حالت دیگر جابجا شود. احتمال این جابجایی به حالت کنونی بستگی داشته و به حالت‌های قبلی بستگی ندارد؛ این یک فرض مشخصه‌ای از فرایندهای مارکوف است. احتمال جابجایی از حالت  $i$  به حالت  $j$  احتمال انتقال  $P_{ij}$  نامیده می‌شود و برای هر ترتیبی از سری حالات داده مم شود. اب. احتمال‌ها م تواند به شکا، ماتریس، انتقالا، p، نشان-

$$P = \begin{bmatrix} p_{11} & p_{12} & \dots & p_{1n} \\ p_{21} & p_{22} & \dots & p_{2n} \\ \dots & \dots & \dots & \dots \\ p_{n1} & p_{n2} & \dots & p_{nn} \end{bmatrix}$$

داده شود.

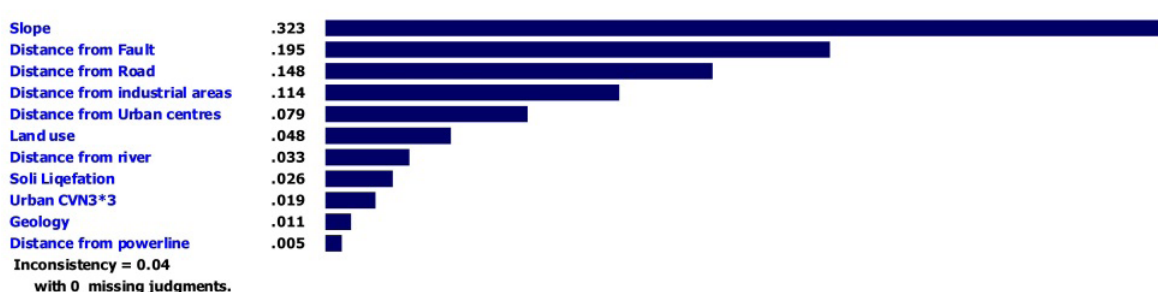
یابند، این توسعه محدودتر می‌شود. مدل‌های CA می‌توانند در سیاست‌ها از نمایافرها اطلاع داشته باشند (فدوسر، ۱۳۸۴، ۶۲).

مدل سازی زنجیره مارکوف اساساً یک تکنیک شبیه‌سازی از تغییر کاربری زمین برای ایجاد ابراری برای تحجم و پیش‌بینی احتمال‌های تغییر کاربری زمین (احتمال‌های انتقال) در بین طبقات کاربری زمین با سیستم اطلاعات جغرافیا‌بی‌اس (GIS) ترکیب شده است. تحلیل زنجیره مارکوف به روش‌های تحلیلی فرایند‌های احتمالی تعلق دارد. فرایند مارکوف یک فرایند احتمالی با مشخصات خاص است که آن را زدیگر فرایند‌های احتمالی تمیز می‌دهد. برای یک سیستم بهره، مجموعه‌ای از حالات گستته (یا کلاس‌ها)  $S_1$  و  $S_2$  و ... و  $S_n$  (انواع مختلف کاربری زمین) وجود دارد. این فرایند در



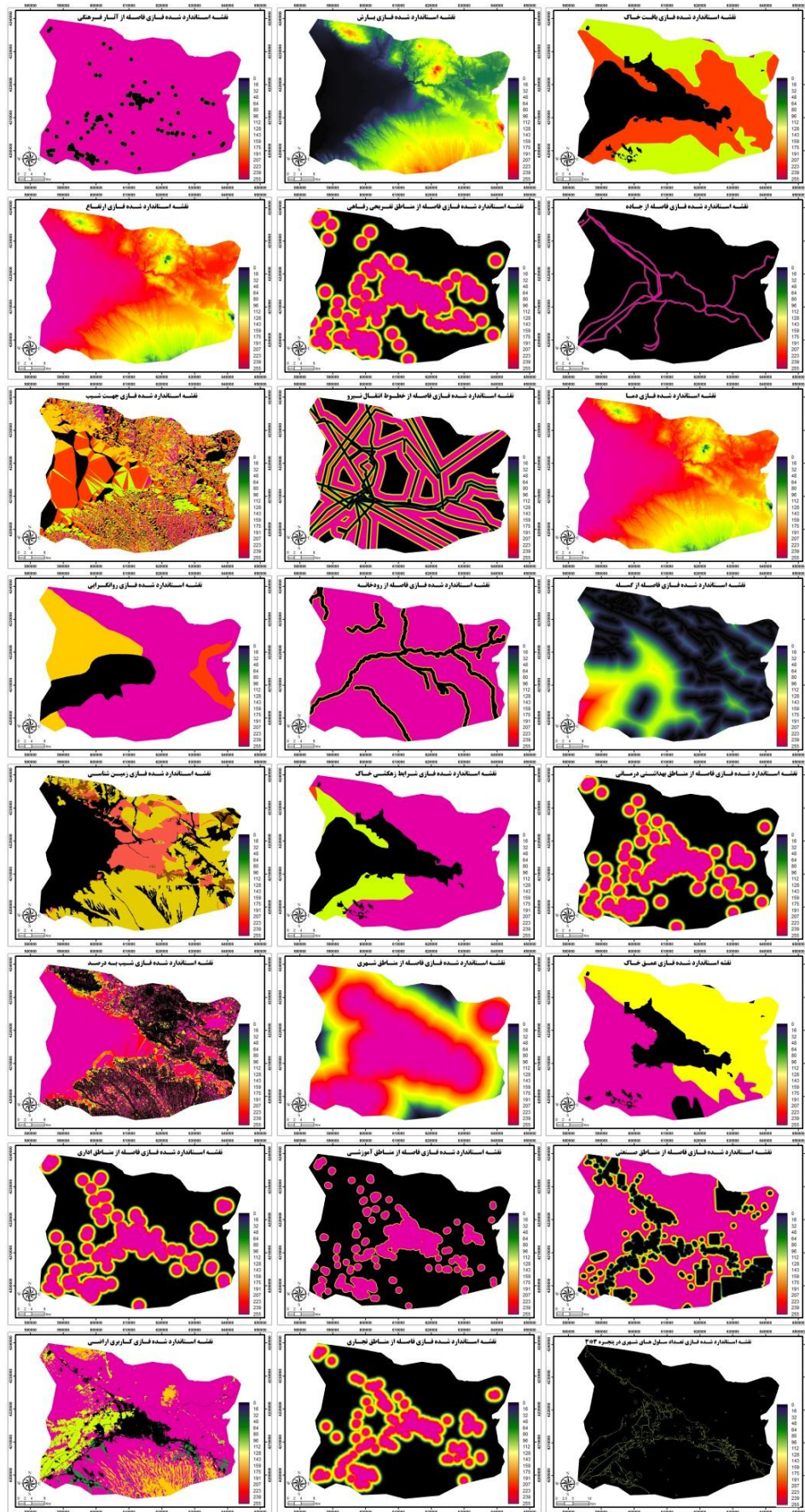
Model Name: suitability

Priorities with respect to:  
Goal: Suitability

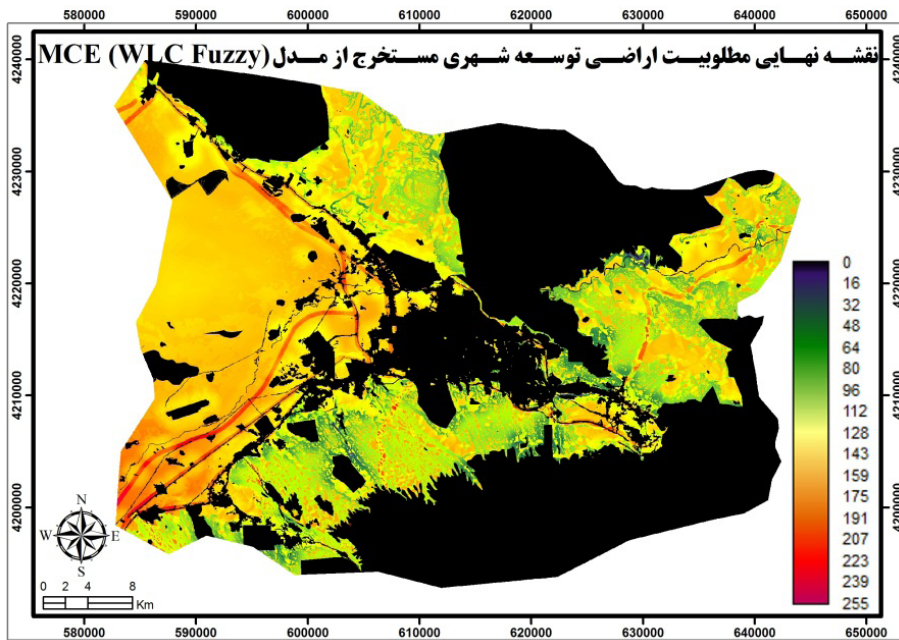


تصویر ۱۱): وزن نهایی و ضریب ناپایداری در محیط نرم افزار Export Choice

دیکر زیست محیطی در مدلسازی تغییرات کاربری اراضی محدوده کلانشهر تبریز  
با منظمه از نتایج ماهواره‌ای چند زمانی، ارزیابی چند معیار و سلول‌های  
جزئی زیستگاه مارکوف (۱۴۰۱-۱۳۶۷)



تصویر(۱۰): مجموعه لایه‌های اطلاعاتی استاندارد شده



(تصویر ۱۲): نقشه نهایی درجه‌بندی مطلوبیت اراضی مناسب برای توسعه در کلانشهر تبریز براساس مدل MCE(WLC Fuzzy)

عنوان ورودی در مدل سلول‌های خودکار زنجیره مارکوف به همراه متغیر وابسته تغییرات شهری حاصل از تفريقي کلاس اراضي ساخته شده در سال‌های ۱۹۸۴-۲۰۱۱ و شش کلاس مطلوبیت کاربری‌ها با رویکرد حفظ شرایط اکولوژیکی سه دهه رشد آتی کلانشهر تبریز اجرا شد که نتایج در تصویر ۱۳ و جداول ۸ و ۹ آمده است. با نگاهی به ماتریس تغییرات طی سال‌های ۲۰۱۱ تا ۲۰۳۸ در صورت استفاده از مناطق مشخص شده برای توسعه مستخرج از این مدل حداقل آسیب‌ها متوجه کلاس کاربری کشاورزی و باغی خواهد بود. لازم به يادآوری است، جمعیت سال ۱۴۱۷ شهرها براساس جمعیت سال ۱۳۹۰ و به روش ترکیبی در محیط نرم افزار Spectrum محاسبه شده است.

## ۷. نتیجه‌گیری

در این مقاله ابتدا با استفاده از تصاویر ماهواره‌ای لندست سنجنده TM و ETM+ در طی دوره ۲۷ ساله از سال ۱۳۶۳ تا ۱۳۹۰ در کلانشهر CrossTab تبریز تغییرات کاربری اراضی با روش شیگرا و ماتریس ارزیابی شد. نتایج حاکی از آن است که منطقه مورد مطالعه در سال ۱۳۶۳ در حدود ۷۲۲۰/۳۴ هکتار کاربری اراضی ساخته شده داشته است که این مقدار در سال ۱۳۹۰ به حدود ۲۲۴۶/۸۲ هکتار افزایش یافته است. با توجه به اینکه جمعیت کلانشهر تبریز (تبریز، شهرهای اقماری) در سال ۱۳۶۳ نزدیک به ۳۰۰ هزار نفر بوده و در سال ۱۳۹۰ به یک میلیون و ۳۳۶ هزار نفر رسیده است، تراکم در شهر تبریز به عنوان شهر مرکزی در طی همین سال، از ۱۵۱ نفر در هکتار به ۹۶ نفر کاهش یافته است. کاهش تراکم یکی از عواملی است که منجر به پدیده گستردگی شهری و به تبع آن تغییرات کاربری‌ها شده که این مسئله در کاهش اراضی باغی و کشاورزی به میزان ۶۴۷۰/۰۱ هکتار در نتیجه گسترش افقی بوده است. اکثر شهرهای ایران، در مراحل اولیه شکل‌گیری با هدف

از آنجا که عناصر ماتریس غیرمنفی هستند و جمع عناصر در هر ردیف برابر ۱ است، هر عنصر از ماتریس یک بردار احتمال نامیده می‌شود و ماتریس  $P$  یک ماتریس احتمال است. این ایده به راحتی به ناحیه‌ای که به تعدادی سلول تقسیم شده و هر سلول می‌تواند توسط یک نوع معین از کاربری زمین در زمان معین اشغال شده، منتقل شود. سپس احتمال‌های انتقال بر مبنای داده‌های مشاهده شده در دوره زمانی محاسبه می‌شود؛ به این طریق که یک سلول از یک نوع کاربری زمین به کاربری زمین دیگری در دوره زمانی آینده تغییر گند (یا حرکت گند) را نشان می‌دهد. این احتمال تنها به حالتی که سلول در زمان داده در آن است، بستگی دارد، یعنی به حالت کنونی نوع کاربری زمین و به انواع کاربری زمینی که در گذشته اشغال کرده بودند، بستگی ندارد. به طور آشکار، توجیه پذیری و قابل قبول بودن به فاصله زمانی مورد بررسی بستگی دارد. با فرض ماتریس  $P$  احتمال‌های انتقال، کاربرد آن در پیش‌بینی تغییرات کاربری زمین در آینده به صورت زیراست. به یک بردار  $I$  که بتوانند توزیع کاربری زمین انواع مختلف در آغاز دوره زمانی را به تصویر بکشد، نیاز است. بردار  $I$ ، توزیع انواع کاربری زمین در انتهای دوره پیش‌بینی را نشان می‌دهد که توسط فرمول زیر تعیین می‌شود:

$$I = I \times P^k$$

توزیع انواع کاربری زمین بعد از  $k$  دوره زمانی (از یک مدت معین) با به توان رساندن ماتریس  $P$  پیدا می‌شود:

$$I = I \times P^k$$

(رفیعیان، ۱۳۸۹: ۳۴۷).

با توجه به دوره زمانی قابل تصاویر ماهواره‌ای مورد استفاده ۲۷ سال) با استفاده از مدل زنجیره مارکوف برای ۲۷ سال آتی (یعنی سال ۱۴۰۱) ماتریس‌های مساحت و احتمال با استفاده از تصاویر طبقه‌بندی شده سال ۱۹۸۴ و ۲۰۱۱ محاسبه شد (جدول ۶ و ۷) و به

جدول (۶): ماتریس مورد انتظار در انتقال مساحت بین کاربری‌ها

سلول‌ها	ارضی بایر	ارضی ساخته شده	ارضی کشاورزی	ارضی باغی	ارضی مرتعی	ارضی آبی
ارضی بایر	۱۱۶۷۲۴۷	۱۹۳۸۰۷	۱۰۹۷۷۸	۱۹۷۵۷	۱۳۷۶۴۵	۵۶۷۷
ارضی ساخته شده	۷۴۴۹	۲۱۱۰۵۳	۷۴۴۹	۷۴۴۹	۷۴۴۹	۷۴۴۹
ارضی کشاورزی	۸۳۷۱۱	۲۵۱۸۰	۱۳۴۹۲۹	۴۰۲۸	۱۰۸۷	۹۴۳
ارضی باغی	۱۴۶۰۴	۲۲۵۵۶	۴۳۸۰	۳۱۸۳۴	۵۵۱	۲
ارضی مرتعی	۱۲۰۱۲۶	۳۱۰۳	۹۳	۱۲۰۴	۱۱۵۲۸۶	۸
ارضی آبی	۲۷۳۲	۵۱۷	۱۴۱۰	۸۰	.	۱۷۹۱

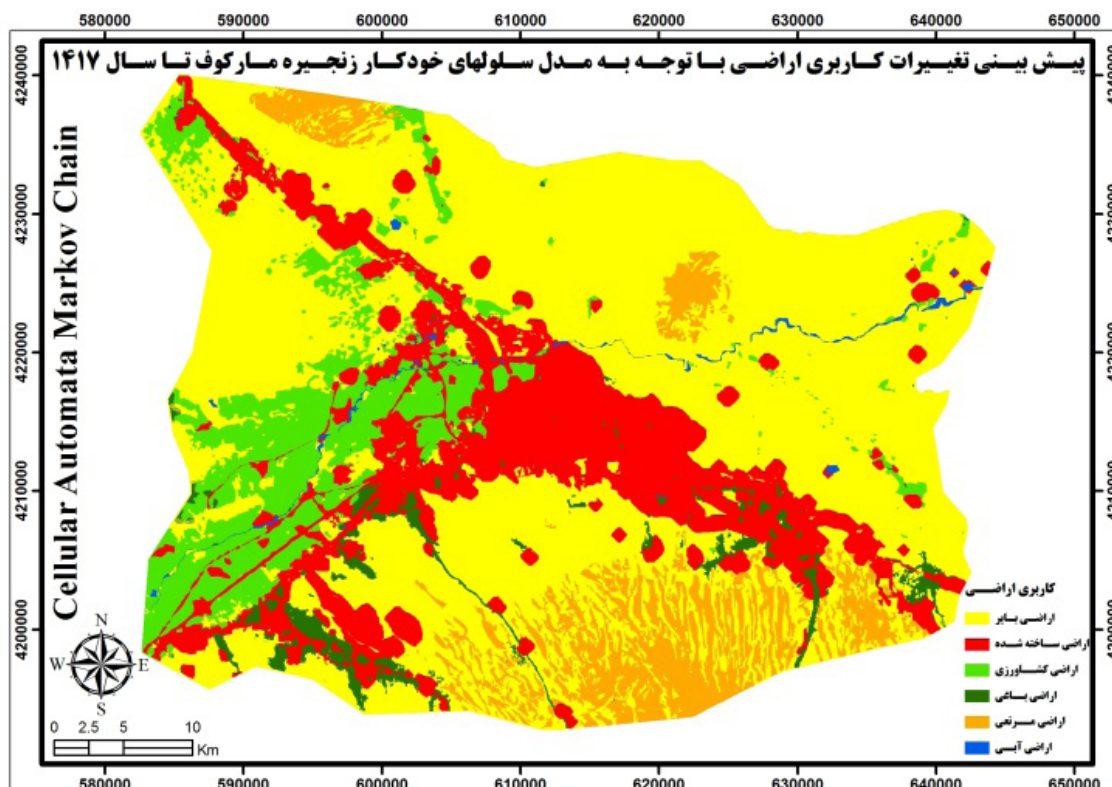
جدول (۷): ماتریس احتمال تغییرات بین کاربری‌ها

سلول‌ها	ارضی بایر	ارضی ساخته شده	ارضی کشاورزی	ارضی باغی	ارضی مرتعی	ارضی آبی
ارضی بایر	۰/۷۱۴۴	۰/۱۱۸۶	۰/۰۶۷۲	۰/۰۱۲۱	۰/۰۸۴۲	۰/۰۰۳۵
ارضی ساخته شده	۰/۰۳	۰/۸۵	۰/۰۳	۰/۰۳	۰/۰۳	۰/۰۳
ارضی کشاورزی	۰/۳۳۵	۰/۱۰۰۸	۰/۵۴	۰/۰۱۶۱	۰/۰۰۴۳	۰/۰۰۳۸
ارضی باغی	۰/۱۹۷۵	۰/۳۰۵۱	۰/۰۵۹۲	۰/۴۳۰۶	۰/۰۰۷۵	۰
ارضی مرتعی	۲۰۱۲۶/۱	۱۰۳/۳	۳/۹	۲۰۴/۱	۱۵۲۸۶/۱	۰
ارضی آبی	۰/۴۱۸۴	۰/۰۷۹۱	۰/۲۱۶	۰/۰۱۲۲	۰	۰/۲۷۴۲

۲۷  
شماره مشتمل  
۱۳۹۲ پاییز

فصلنامه علمی-پژوهشی  
مطالعات مکانی

رویکرد زیست محیطی در مدلسازی تغییرات کاربری اراضی محدوده کلانشهر تبریز  
با استفاده از نتایج ماهواره‌ای چند زمانه‌ای، ارزیابی چند معیاری و سلول‌های خودکار زنجیره‌های مارکوف (۱۴۱۷-۱۳۹۶)



تصویر (۱۳): نقشه پیش‌بینی تغییرات کاربری اراضی با توجه به مدل سلول‌های خودکار زنجیره مارکوف در کلانشهر تبریز

جدول (۸): تغییرات سطح کاربری اراضی ساخته شده و جمعیت کلانشهر تبریز

۱۴۱۷(۲۰۳۸)		۱۳۹۰(۲۰۱۱)		۱۳۷۹(۲۰۰۰)		۱۳۶۹(۱۹۹۰)		۱۳۶۳(۱۹۸۴)		سال
مساحت	جمعیت	مساحت	جمعیت	مساحت	جمعیت	مساحت	جمعیت	مساحت	جمعیت	شهر
۲۸۵۶۹/۹۸	۱۹۰۵۲۴۰	۱۵۵۸۹	۱۴۹۴۹۹۸	۱۱۰۲۳/۹۷	۱۲۷۳۸۵۰	۶۸۵۱/۰۷	۱۰۶۰۴۸۴	۵۹۳۱/۹۹	۸۹۶۷۸۱	تبریز
۱۲۷۲۳/۴۶	۱۴۰۸۱	۲۱۲/۲۶	۱۱۱۹۰	۱۱۱/۰۹	۹۵۴۹	۴۳/۰۲	۸۰۶۶	۳۲/۳۱	۷۲۷۷	پاسمنج
۶۷۲/۶۳	۳۴۸۴۳	۲۴۳/۶۷	۲۶۸۵۶	۱۴۳/۲۵	۱۹۸۸۳	۸۶/۰۸	۱۴۸۹۲	۶۳/۰۹	۱۳۲۷۲	سردرود
۱۱۰۲/۴۹	۱۵۴۷۸	۴۲۶/۱۱	۱۲۴۴۷	۲۳۵/۷۷	۱۲۴۷۲	۱۲۶/۶۳	۱۰۷۲	۱۲۵/۸۲	۹۲۸۵	خسرو شهر
۳۶۸/۱۹	۱۲۲۵۵	۱۶۲/۹۵	۹۱۲۶	۱۴۵/۲۳	۸۴۷۴	۱۲۳/۹۳	۷۴۳۳	۱۲۳/۹۳	۶۲۶۱	صوفیان
۲۱۶/۸۸	۳۸۴۲	۳۶/۹۹	۳۸۰۱	۱۰/۰۳	۳۹۶۹	۹/۰۴	۴۰۷۰	۹/۰۴	۳۶۷۹	خواجه
۹۷۲۲/۸۰	۱۶۹۱۷	۲۳۶/۷۷	۱۵۲۳۱	۱۶۶/۷۳	۱۱۸۰۳	۸۰/۱۹	۹۰۹۶	۸۰/۰۱	۷۵۳۷	ایلخچی
۸۵۶/۵۳	۱۴۹۹۸	۴۲۸/۸۲	۱۲۲۳۲	۲۱۶/۶۳	۱۵۱۳۵	۸۸/۱۱	۱۴۲۷۳	۸۸/۱۱	۱۳۲۱۸	اسکو
۲۲۲۸/۰۵	۳۶۸۰۳	۵۷۹/۷۵	۲۴۷۰۴	۰	۰	۰	۰	۰	۰	سهند

ماخذ: نگارنگان ، براساس پردازش تصاویر ماهواره‌ای سال‌های ۱۹۸۴-۲۰۱۱ و سرشماری مرکز آمار ایران

جدول ۹: مقایسه تغییرات کاربری و پوشش اراضی براساس تصاویر طبقه‌بندی شده

مجموع کلاس‌ها	اراضی آبی	اراضی مرتعی	اراضی باغی	اراضی کشاورزی	اراضی ساخته شده	اراضی بایر	اراضی بایر	۲۰۱۱-۲۰۳۸
۱۲۸۴۸۶/۵۲	۱۵۸/۲۲	۷۱۳۲/۶۸	۸۵۱/۸۵	۱۲۹۴/۶۵	۳۸۴/۸۴	۱۱۸۶۰۵/۴۲	اراضی بایر	
۴۲۱۶۸/۸۷	۳۷/۶۲	۳۸۵/۵۶	۱۸۹۱/۸۹	۱۸۱۴/۹۴	۲۱۱۴۳/۹۷	۱۶۸۹۳/۲۷	اراضی ساخته شده	
۲۴۱۶۴/۷۳	۱۲۰/۱۵	۳۳/۷۵	۱۲۷/۳۵	۱۹۰۸۹/۹۹	۳۵۱/۴۵	۴۴۴۰/۲۴	اراضی کشاورزی	
۵۷۷۸۰/۹	۵/۵۸	۴۷/۸۸	۳۷۴۲/۹۲	۱۴۳/۳۷	۴۰۰/۷۷	۱۴۳۷/۳۰	اراضی باغی	
۱۹۰۰۰/۷۱	۰/۶۳	۱۳۹۷۱/۵۱	۲۸/۹۸	۱۸/۹۹	۶/۶۶	۴۹۷۲/۴۱	اراضی مرتعی	
۱۰۱۶/۲۸	۲۶۵/۰۵	۰/۴۵	۵/۷۶	۱۱۶/۲۸	۴۹/۶۸	۵۷۹/۰۶	اراضی آبی	
۰	۵۸۷۸/۷۰	۲۱۵۸۳/۸۰	۶۶۵۳/۴۳	۲۲۴۸۹/۰۲	۲۲۳۴۶/۸۲	۱۴۷۰۴۷/۱۳	مجموع کلاس‌ها	
۰	۳۲۲۶۵	۷۶۱۲/۲۹	۲۹۱۰/۵۱	۳۳۹۹/۰۳	۱۲۰۲/۸۲	۲۸۴۴۱/۷۱	تغییرات کلاس	
۰	-۴۲۸/۵۸	-۲۵۸۳/۰۹	-۸۷۵/۳۴	۱۶۷۵/۷۱	۱۹۸۲۲/۰۵	-۱۸۵۰/۶۱	تفريق تصاوير	

راهکار افزایش فشرده‌گی کالبدی و استفاده از شیوه‌های مربوط به آن به منظور هدایت توسعه کلانشهر تبریز به سمت پایداری بیشتر، باید در دستور کار برنامه‌ریزان و متولیان امور شهری قرار گیرد. درواقع بی‌توجهی به ضوابط و مقررات گسترش کالبدی - فضایی شهر در سال‌های اخیر، به خصوص ۳۰ سال گذشته، مایه نابودی اراضی کشاورزی یا تبدیل عادمنه آنها به کاربری بایر شهری و سپس به کاربری‌های ساخته شده، گردیده است. با مشخص شدن نوع الگوی توسعه کلانشهر تبریز و تأثیر آن بر زمین‌های کشاورزی، پیشنهاد می‌شود به منظور کاهش پراکنش افقی این شهر و در نتیجه کاهش مشکلات ناشی از آن نظرارت بیشتر بر محدوده‌های شهری، استفاده از شیوه‌های انبوه‌سازی و بلندمرتبه‌سازی (شهر فشرده)، استفاده از زمین‌های بایر و خالی موجود در داخل شهر (توسعه میان‌افرا)، هدایت سمت توسعه شهر

استفاده از خاک‌های مرغوب به منظور زراعت، در میان اراضی زراعی استقرار یافته‌اند و به مرور زمان همراه با گسترش روزنایها و تبدیل آنها به شهر و سپس توسعه شهرها، اراضی مرغوب زیر پیکر شهرها مدفون شده و بالطبع بخش وسیعی از بهترین و با ارزش‌ترین اراضی بلافضل شهرها به زیر ساخت و ساز رفته است. برای جلوگیری از این مسئله با استفاده از تکنیک تحلیل چند معیاره ترکیب خطی وزندار نقشه مطلوبیت مکانی توسعه شهری با استفاده از بیست و چهار عامل شناسایی و تعیین گردید و سپس با استفاده از مدل سلول‌های خودکار زنجیره‌های مارکوف برای ۲۷ سال آتی، روند توسعه فیزیکی کلانشهر تبریز استخراج شد. با نگاهی به ماتریس تغییرات و نقشه پیشینی سال ۲۰۳۸ مشخص می‌شود، در صورت استفاده از نتایج این تحقیق کمترین آسیب‌ها متوجه کاربری باغات و کشاورزی در دهه‌های آتی خواهد بود. بنابراین

**۲۸**  
 شماره هشتم  
 ۱۳۹۲ پاییز  
 فصلنامه علمی-پژوهشی **مطالعات**  
 ۱۳۹۲-۱۳۹۳  
 این کار نتایجی از تحقیق مارکوف (۱۳۹۱-۱۳۹۲) است.  
 این پژوهش در مسایع تغییرات اکثری اراضی مددوده کلانشهر تبریز در زمانهایی زیاده‌تر و پیوسته و مهندسی شهری و مهندسی اراضی انجام شده است.

- Anderson, W.P; Kanaroglou, P.S; Miller, E.J1996 ); urban form, energy and the environment: a review of issues, evidence and policy; *Urban Studies*; 33(1), 7–35.
  - Benz, U.C., Hoffmann, P., Willhauck, G., Lingenfelder, I. & Heynen, M. 2004. Multi-resolution, objectorientated fuzzy analysis of remote sensing data for GIS-ready information. *ISPRS Journal of Photogrammetry and Remote Sensing* 58:239–258.
  - Bhatta, B (2010); Analysis of Urban Growth and Sprawl from Remote Sensing; DataSpringer; London; p 191 .
  - Bogart, W . (2009); Don't Call It Sprawl: Metropolitan Structure in the 21st Century; New York: Cambridge University Press; 2006. 196 pp
  - Definiens Professional ReferenceBook. Definiens AG,(2006),D-80339 München Germany.
  - E. Holden., 2004. Ecological footprints and and sustainable urban form, *Journal of Housing and Built Environment*. No 19 .pp. 91–109.
  - George Xian, Mike Crane. 2005. Assessments of urban growth in the Tampa Bay watershed using remote sensing data, *Journal of Remote Sensing of Environment*. No 97. pp. 203 –215.
  - Hwang, H. 2004. Web-based multi-attribute analysis model for engineering project evaluation, *Journal of Computer & industrial engineering*.No 46. Vol 46, Issue 4,July,PP 669 –678.
  - Jamal Jokar Arsanjania, Marco Helbich, Wolfgang Kainz, Ali Darvishi Boloorani. 2012. Integration of logistic regression, Markov chain and cellular automata models to simulate urban expansion,*International Journal of Applied Earth Observation and Geoinformation*. No 21. pp. 265 –275.
  - Jian-zhou Gong, Yan-sui Liu, Bei-cheng Xia, Guan-wei Zhao. 2009. Urban ecological security assessment and forecasting, based on a cellular automata model: A case study of Guangzhou, China, *Journal of Ecological Modelling*. No 220. pp. 3612 –3620.
  - Jose' I. Barredo, Luca Demicheli. 2003. Urban sustainability in developing countries' megacities: modelling and predicting future urban growth in Lagos, *Journal of Urban sustainability in developing countries' megacities*. No 5. pp. 297 –310.
  - Nancy E. McIntyre, K. Knowles-Yáñez, and D. Hope. 2000. *Urban Ecology as an Interdisciplinary Field:*

در جهاتی غیر از زمین‌های کشاورزی در اولویت دست‌اندرکاران مدیریت کلانشهر تبریز باشد.

## منابع:

- اصغری زمانی، اکبر؛ (۱۳۸۶)، ارزیابی و پیش‌بینی گسترش  
فضایی- کالبدی شهرهای ایران، مطالعه موردی شهر  
زنجان، رساله دکتری جغرافیا و برنامه‌ریزی شهری، دانشکده  
علوم انسانی و اجتماعی دانشگاه تبریز.

بحرینی، حسین (۱۳۶۸)؛ ((تهران چگونه شهری است و چه  
باید باشد؟))، مجله محیط‌شناسی، شماره ۱۵: ویژه‌نامه  
تهران.

بریاسولیس هلن (۱۳۸۹)؛ الگوهای تحلیلی تغییر کاربری  
زمین؛ ترجمه رفیعیان مجتبی، محمودی مهران؛ انتشارات  
آذرخش، تهران.

رسولی، علیاکبر؛ محمودزاده، حسن (۱۳۸۹)؛ مبانی سنجش  
از دور دانش پایه، انتشارات علمیران، ۱۹۲.

شکوئی، حسین (۱۳۷۳)؛ دیدگاه‌های نو در جغرافیا  
شهری، انتشارات سمت، ۵۶۸.

شهابی، هیمن؛ نیازی، چیا (۱۳۸۸)؛ بررسی فاکتورهای  
موثر در مکان‌یابی ایستگاه‌های امداد و نجات جاده سقز-  
سنندج با استفاده از مدل ترکیب خطی وزنی، هماشی  
ژئوماتیک، ۸۸، تهران.

شیعه، اسماعیل (۱۳۷۷)؛ مقدمه‌ای بر مبانی برنامه‌ریزی  
شهری، انتشارات دانشگاه علم و صنعت، ۲۴۰.

فردوسی، بهرام (۱۳۸۴)؛ امکان سنجی و کاربرد سیستم  
پشتیبانی تصمیم‌گیری در توسعه فیزیکی شهر، نمونه موردنی  
شهر سنندج، پایان نامه کارشناسی ارشد رشته جغرافیا و  
 برنامه‌ریزی شهری، دانشکده علوم انسانی دانشگاه تربیت  
مدرس.

کامیاب، حمیدرضا؛ ماهینی عبدالرسول سلمان؛  
حسینی سید محسن؛ مهدی غلامعلی فرد (۱۳۸۹)؛  
اتخاذ رهیافت اطلاعات محور با کاربرد روش رگرسیون  
لجستیک برای مدل‌سازی توسعه شهری گرگان، فصلنامه  
محیط‌شناسی، شماره ۵۴، تابستان ۸۹.

مالچفسکی، ی. ۱۳۸۵. سامانه اطلاعات جغرافیایی و  
تحلیل تصمیم چند معیاری، ترجمه اکبر پرهیزکار، عطا  
غفاری گیلانده، انتشارات سمت، تهران.

مهندسين مشاور معماري و شهرسازی زبيستا ۱۳۸۳ طرح  
مجموعه شهری تبریز، وزارت مسکن و شهرسازی، سازمان  
مسکن و شهرسازی استان آذربایجان شرقی.

ویلیامز کاتی؛ برتون الایت؛ جنکنز مایک (۱۳۸۳)؛ دستیابی  
به شکل پایدار شهری (شکل پایداری و حمل و نقل)؛ ترجمه  
واراز مرادی مسیحی؛ شرکت پردازش و برنامه‌ریزی شهری؛  
تهران.

Differences in the use of “Urban“ Between the Social and Natural Sciences, Journal of Urban Ecosystems. No 4, pp. 5–24.

- Sudhira,H.S;Ramachandra,T.V (2007);Characterising Urban Sprawl from Remote Sensing Data and Using Landscape Metrics; 10th International Conference on Computers in Urban Planning and Urban Management, Iguassu Falls, PR Brazil, July 11–13.
- Tolga,E.,Demircan,L.,Kahraman,C.2005. Operating system selection using fuzzy replacement analysis and analytic hierarchy process, Journal Production economics. No 97. Vol 97, Issue 1, 18 July, PP 89–117
- Yu, C.2002. A GP-AHP method for solving group decision-making fuzzy AHP problems, Journal of Computer & Operation Research.No 29. Vol 29, Issue 14, December, PP 1969–2001

۳۰

شماره هشتاد  
۱۳۹۲ پاییز  
فصلنامه علمی-پژوهشی مطالعات  
**مطالعات**  
**جذبکارزینی**

رویکرد زیست محیطی در مدل‌سازی تغییرات کاربری اراضی محدود کلانشهر تبریز  
بناسناد از تصاویر ماهواره‌ای چند زمانه‌ای، ریاضی چند معیاری و سوابل هدف  
خودکارزینیه مارکوف (۱۳۹۳-۱۴۱۱)